Захваченные антипротоны в радиационном поясе земли по данным эксперимента ПАМЕЛА

Ю.Т. Юркин¹, А.М. Гальпер¹, С.А. Воронов¹, Л.А. Гришанцева¹, С.В. Колдашов¹, В.В. Михайлов¹, М.Д. Хеймиц¹ от коллаборации ПАМЕЛА

Аннотация

Существование захваченных антипротонов в радиационном поясе Земли было теоретически предсказано, но ранее не наблюдалось. В данной работе приводится методика выделения антипротонов и результаты наблюдения в космическом эксперименте ПАМЕЛА. Магнитный спектрометр ПАМЕЛА позволяет надежно идентифицировать тип частиц, знак и величину заряда, измерять энергию, что дало возможность впервые зарегистрировать захваченные антипротоны в Бразильской аномалии.

Введение

Внутренний радиационный пояс Земли в основном состоит из захваченных магнитным полем протонов. Основной механизм рождения захваченных протонов — распад нейтронов, которые появляются в результате взаимодействия космических лучей с верхними слоями атмосферы. Тот же механизм должен рождать и антинейтроны, а, следовательно, и захваченные антипротоны.

Первое измерение потока захваченных антипротонов было предпринято в эксперименте Мария-2 [1] на орбитальных станциях «Салют-7» и «Мир», однако, был получен лишь верхний предел отношения потока антипротонов к потоку протонов равный $5 \cdot 10^{-3}$.

Расчет потока захваченных антипротонов приведен, в частности, в работе [2].

Цель данной работы – регистрация факта существования антипротонов, захваченных во внутреннем радиационном поясе Земли, с помощью магнитного спектрометра ПАМЕЛА.

1 Научная аппаратура магнитный спектрометр ПАМЕЛА

Магнитный спектрометр ПАМЕЛА был запущен с космодрома Байконур 15 июня 2006 года на борту искусственного спутника Земли «Ресурс-ДКІ». Спутник имеет эллиптическую орбиту с наклонением 70.00 и высотой от 350 км до 610 км. Прибор ПАМЕЛА может идентифицировать заряженные частицы космических лучей в энергетическом диапазоне 10^7 – 10^{12} эВ, используя набор детекторов, включающий времяпролетную систему, магнитный спектрометр, стриповый калориметр. Измеряются спектры космических лучей (протонов, электронов и соответствующих античастиц), а также отношение потоков античастиц и частиц. Результаты измерений в диапазоне энергий 1–100 ГэВ представлены в публикациях [4, 5].

Траектория КА «Ресурс-ДК1» проходит через Южно-Атлантическую Магнитную Аномалию, что позволяет производить измерения потоков частиц, захваченных геомагнитным полем.

Основной частью прибора является магнитный спектрометр на постоянном магните, в котором помещен кремниевый трекер. Измерение траекторий выполняется с помощью шести слоев толщиной по 0.3 мм, на обеих сторонах которых размещены микрострипы, направления которых перпендикулярны друг к другу. Средняя величина индукции маг-нитного поля составляет 0.43 Тл. Для каждой частицы определяется жесткость (отношение импульса к заряду) путем измерения отклонения траектории от прямой. Сэмплинговый калориметр, состоящий из 22 вольфрамовых пластин, прослоенных микростриповыми детекторами, расположен под спектрометром. Сцинтилляционный детектор, регистрирующий часть ливня, выходящую из калориметра, и нейтронный детектор, состоящий из счетчиков 3 He, окруженных полиэтиленовым замедлителем, составляют нижнюю часть прибора. Времяпролетная система, состоящая из трех двойных слоев сцинтилляционных пластин, измеряет скорость ($\beta = v/c$) и потери энергии (dE/dx), что дает возможность идентифицировать частицы при низких

¹ Национальный исследовательский ядерный университет «МИФИ»; ytyurkin@mephi.ru

энергиях. Частицы, по-падающие в прибор вне апертуры, вызывают срабатывание антисовпадательной системы. Подробное описание прибора ПАМЕЛА приведено в работе [3].

2 Идентификация антипротонов

Частица, зарегистрированная прибором ПАМЕЛА, проходит шесть слоев пластического сцинтиллятора, составляющих времяпролетную систему, шесть слоев кремниевых детекторов трекера и попадает в калориметр. В каждом слое измеряется и записывается энерговыделение. Выделив частицы, не испытавшие взаимодействия до попадания в калориметр, можно получить до 12 независимых измерений потери энергии на ионизацию. Имея ионизационные потери энергии, траекторию, определенную трекером, и скорость частицы (измеренную времяпролетной системой) можно вычислить заряд и массу частипы.

Так как цель данной работы – обнаружение захваченных антипротонов, мы накладываем очень жесткие требования к отбору событий. Важно убедиться, что зарегистрированные антипротоны не являются имитацией. Возможные источники имитации – электроны, пионы, каоны и рассеявшиеся протоны. Для исключения частиц, имеющих отношение массы к заряду, отличающиеся от отношения массы к заряду антипротонов, используем зависимость от жесткости скорости и ионизационных потерь. Для выделения антипротонов был использован тот факт, что при одинаковых значениях импульса протоны и антипротоны имеют равные значения скорости и ионизационных потерь. Из полного числа зарегистрированных событий были отобраны события с единственным треком со значением жесткости (по модулю) более 0.4 ГВ/с и менее 1.5 ГВ/с. Для каждого события были измерены значения жесткости, β и ионизационные потери в каждом слое. Таким образом, для протонов и для электронов были определены по полетным данным распределения β и ионизационных потерь, которые зависят от жесткости. Для каюнов и пионов эти распределения были вычислены по соответствующим массам частиц. Для каждого события измерено до 13 величин. Каждая величина имеет известное распределение, которое зависит от проверяемой гипотезы: протон (антипротон), электрон, пион, каон. Это позволило для каждой зарегистрированной частицы вычислить вероятность каждой гипотезы.

Для выделения захваченных частиц были отобраны события в области геомагнитных координат МакИлвайна 1.1 < L < 1.5 и B < 0.23, то есть принадлежащие Южно-Атлантической Магнитной Аномалии. При этом к антипротонам отнесены частицы с отрицательной жесткостью, для которых вероятность гипотезы, что это антипротон, более 0.1, и вероятность гипотезы, что это каон, менее 10-4. Точно такой же отбор был проведен для событий с положительной жесткостью, то есть протонов. Такие жесткие критерии привели к тому, что была отброшена значительная часть антипротонов, но не вызывает сомнения, что отобранные события действительно антипротоны, а не их имитация каонами, пионами или электронами. Отбор прошли всего шесть антипротонных событий и 580000 протонных событий.

Существует малая вероятность имитации антипротонов протонами, рассеявшимися в трекере. При этом изменяется кривизна траектории и, следовательно, трекер неправильно определяет жесткость частицы. Однако, у всех событий, удовлетворяющих критериям отбора, измеренные значения скорости и ионизационных потерь соответствуют антипротонам или протонам, имеющим измеренное значение жесткости. Поскольку скорость и ионизационные потери связаны с импульсом, рассеяние должно было бы изменить только знак жесткости, оставив неизменной ее величину. Вероятность такого рассеяния для протонов в исследуемом диапазоне энергий менее 10^{-7} .

В выбранном диапазоне энергий протоны и антипротоны останавливаются в калориметре. Глубина проникновения для них составляет от четырех до шестнадцати слоев калориметра. При этом протонные события имеют одиночный трек, а антипротонные события одиночный трек, в конце которого происходит аннигиляция и наблюдается разлет аннигиляционных продуктов. Подтверждением того, что все шесть отобранных антипротонов действительно являются антипротонами, служит характерная картина аннигиляции в калориметре, которая не наблюдается ни в одном протонном событии. На рисунке 1 показано одно из антипротонных событий.

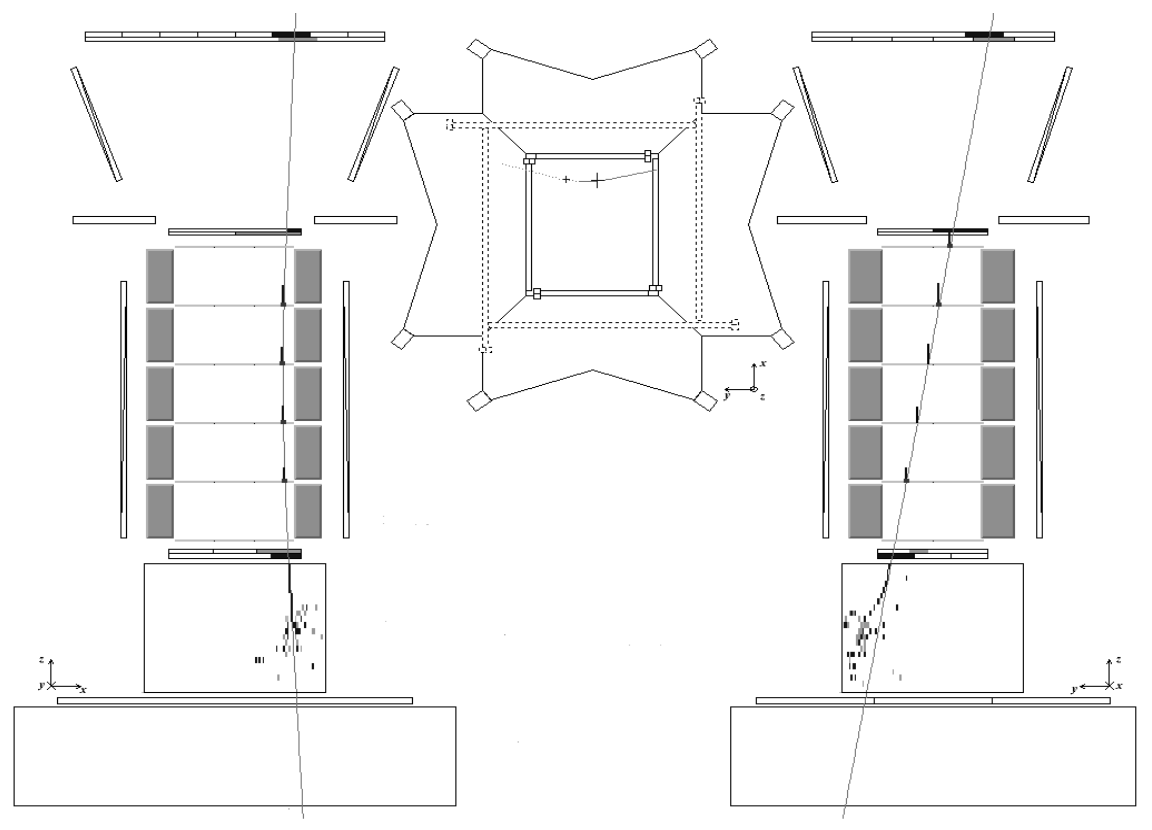


Рис. 1. Визуализация антипротонного события.

В таблице 1 приведены характеристики отобранных антипротонов. Для всех событий угол траектории с направлением магнитной индукции (питч-угол) близок к 90 градусов, то есть антипротоны захвачены магнитным полем Земли.

| Номер | Жескость, | Ekin, | вероятность | вероятность | вероятность | Питч угол, град |
|-------|-----------|-----------|-------------|---------------------|---------------------|-----------------|
| | ГВ/с | МэВ | антипротона | каона | электрона | |
| 1 | -1,222 | 600_{0} | 0,92 | 3•10 ⁻⁴ | 8•10 ⁻⁶ | 89 |
| 2 | -1,115 | 520 | 0,19 | 7•10 ⁻⁶ | 4•10 ⁻¹¹ | 90 |
| 3 | -0,6872 | 220 | 0,83 | 5•10 ⁻¹⁷ | 5•10 ⁻⁴⁹ | 93 |
| 4 | -0,8278 | 410 | 0,69 | 7•10 ⁻¹⁰ | 7•10 ⁻²⁸ | 93 |
| 5 | -0,9926 | 330 | 0,13 | 6•10 ⁻¹⁴ | 1•10 ⁻²⁴ | 87 |
| 6 | -0,6706 | 220 | 0,91 | 5•10 ⁻²⁰ | 2•10 ⁻⁵¹ | 91 |

Таблица 1. Параметры, отобранных антипротонов.

Заключение

Впервые зарегистрированы антипротоны, захваченные магнитным полем Земли в радиационном поясе. Отношение потока антипротонов к потоку протонов составляет 10^{-5} , что не противоречит расчетным данным работы [2].

Список литературы

- [1] Воронов С.А., Гальпер А.М., Колдашов С.В., Масленников Л.В., Михайлов В.В., Попов А.В. // Космические исследования. 1990. Т. 28. Вып. 4. С. 632.
- [2] Selesnick R.S., Looper M.D., Mewaldt R.A., Labrador A.W. // Geophys. Res. Lett. 2007. V. 34. P. 20.
- [3] Picozza P., Galper A.M., Castellini G. et al. // Astropart. Phys. 2007. V. 27. P. 296.
- [4] Adriani O., Barbarino G.C., Bazilevskaya G.A. et al. // Nature. 2009. V. 458. P. 607.
- [5] Adriani O., Barbarino G.C., Bazilevskaya G.A. et al. // Phys. Rev. Lett. 2009. V. 102. P. 051101-1..